

**ЭПР МОНОКРИСТАЛЛОВ  
 $\text{YBa}_2\text{Cu}_3\text{O}_{6+\delta} : \text{Yb}^{3+}$  В СЛАБЫХ ПОЛЯХ**

© Р.М. Еремина, Е.Ф. Куковицкий, С.Г. Львов

Казанский физико-технический институт Российской академии наук,  
 420029 Казань, Россия

(Поступила в Редакцию 24 ноября 1995 г.

В окончательной редакции 12 марта 1996 г.)

Исследованы спектры ЭПР  $\text{YBa}_2\text{Cu}_3\text{O}_{6+\delta} : \text{Yb}^{3+}$  в слабых магнитных полях. Интегральные интенсивности линий изменяются со временем, что позволяет говорить о принадлежности их к нестабильным парамагнитным центрам. Линии ЭПР с  $g_{\text{eff}} = 4, 6$  и  $8$  сопоставляются с метастабильными медно-кислородными кластерами со спинами  $S = 3/2, 5/2$  и  $7/2$  соответственно.

Несмотря на значительное число работ, посвященных исследованию высокотемпературных сверхпроводников методом ЭПР, ряд сигналов ЭПР в слабых полях все еще не имеет однозначной интерпретации. Наиболее подробно изучены линии с эффективным  $g$ -фактором, приблизительно равным двум. Так, согласно [1], спектры ЭПР в  $X$ -диапазоне монокристалла  $\text{GdBa}_2\text{Cu}_3\text{O}_{6+\delta}$  практически не зависят от температуры. В интервале температур  $30$ – $1.6$  К значения  $g$ -факторов примерно постоянны:  $g_{\parallel} = 2.1$  и  $g_{\perp} = 2.2$  [1]. Однако при переходе к  $Q$ -диапазону характер температурной зависимости  $g$ -факторов резко меняется:  $g_{\parallel}$  уменьшается от  $2.0$  при  $30$  К до  $1.4$  при  $1.6$  К, а  $g_{\perp}$  увеличивается с  $2.1$  до  $2.7$  соответственно [1]. Такое поведение спектра ЭПР не может быть приписано одиночным ионам меди. Для интерпретации эксперимента [1] в [2] привлечена модель медно-кислородного кластера со спином  $S = 2$  с начальным немагнитным расщеплением  $D$  между синглетом  $|0\rangle$  и дублетом  $|\pm 1\rangle$ .

На возможность образования медно-кислородных кластеров в соединениях  $\text{YBa}_2\text{Cu}_3\text{O}_{6+\delta}$  при промежуточных значениях кислородного индекса между  $6$  и  $7$  указывалось в [3–7]. При допировании кислородом  $\text{YBa}_2\text{Cu}_3\text{O}_6$  происходит разупорядочение антиферромагнитного порядка спинов Cd в плоскости  $\text{CuO}_2$ . Дырка кислорода взаимодействует со спинами меди, и в зависимости от симметрии центра локализации могут образовываться метастабильные образования — кластеры как с целыми, так и полуцелыми спинами [4]. Модели остовов медно-кислородных кластеров со спинами  $S = 2$  и  $3/2$  предложены в [8]. В формировании метастабильных кластеров определяющими являются 1) обменное взаимодействие между спином кислородной дырки и

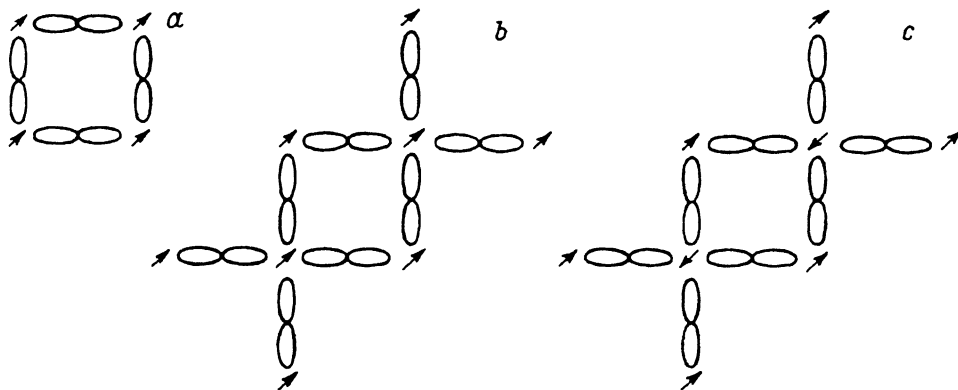


Рис. 1. Модели кластеров со спинами  $S = 3/2$  (a),  $7/2$  (b),  $5/2$  (c).

Дырка кислорода распределена по  $\sigma$ -орбитаям. Стрелки соответствуют спинам меди.

спинами меди  $J^{pd}[1/2 - 2(S_pS_d)]$ , где  $-J^{pd} \sim 1$  eV; 2) антиферромагнитное обменное взаимодействие между спинами меди  $J^{dd}[1/2 - 2(S_dS_d)]$ , где  $-2J^{dd} \sim 0.13$  eV. В зависимости от относительной величины этих взаимодействий и пиннингующих дефектов в кристалле могут реализоваться два типа кластеров. В первом случае, когда преимущественным является обменное взаимодействие между кислородной дыркой и спинами меди, антиферромагнитные корреляции подавляются, происходит переворачивание пары спинов меди, общий спин остова кластера равен  $S = 3/2$  (рис. 1, a) [8]. При этом если произойдет поляризация спинов меди из второй сферы, то общий спин будет равен  $S = 7/2$  (рис. 1, b) [7]. Во втором случае, когда определяющим будет антиферромагнитное взаимодействие между спинами Cu, антиферромагнитные корреляции сохраняются, и общий спин медно-кислородного кластера оказывается равным  $S = 5/2$  [7] (рис. 1, c). Спин-гамильтониан взаимодействий медно-кислородных кластеров со спинами  $S = 3/2, 5/2$  и  $7/2$  в магнитном поле имеет вид

$$\mathcal{H} = DS_z^2 - g\beta HS, \quad (1)$$

где  $D$  — параметр анизотропного обмена,  $H$  — величина напряженности магнитного поля. Состояние полного спина  $S$  под действием анизотропного обмена расщепляется на дублеты. Эффективный  $g$ -фактор дублета  $|\pm 1/2\rangle$  при перпендикулярной ориентации поля рассчитывается по формуле

$$g_{\perp} = g_L \sqrt{(S(S+1) + 1/4)}, \quad (2)$$

где  $g_L$  — фактор Ланде, приблизительно равный двум. Таким образом, эффективные значения  $g_{\perp}$ -факторов для  $S = 3/2, 5/2$  и  $7/2$  приблизительно равны соответственно 4, 6 и 8.

Хотя метод ЭПР позволяет непосредственно регистрировать данные кластеры, систематические работы в этом направлении не проводились. Однако необычные сигналы в слабых полях, соответствующие  $g = 4$ , уже наблюдались, например, в [9, 10]. В работе [11] была предпринята попытка идентифицировать линии спектра ЭПР, соответствующие эффективным  $g$ -факторам от 4 до 6, в  $\text{YBa}_2\text{Cu}_3\text{O}_{6+\delta}$  за счет образования положительных ионов кислорода. Однако такая интерпретация

является спорной и не получила подтверждения. Ранее спектры ЭПР в слабых полях описаны лишь в порошках.

В данной работе приводятся результаты исследования спектра ЭПР монокристаллов  $\text{YBa}_2\text{Cu}_3\text{O}_{6+\delta}$ , активированных ионами иттербия. Наблюдавшиеся линии ЭПР в слабых полях с  $g_{\text{eff}} = 4, 6$  и 8 объясняются метастабильными медно-кислородными кластерами с  $S = 3/2, 5/2$  и  $7/2$  соответственно.

## 1. Образцы

Для выяснения условий образования активных центров ЭПР в керамике  $\text{Y}_{1-x}\text{Yb}_x\text{Ba}_2\text{Cu}_3\text{O}_{6+\delta}$  были использованы различные методы синтеза и допирования керамики: 1) общепринятый метод твердофазного синтеза с использованием смеси порошков окислов и углекислого бария; 2) твердофазный синтез с использованием гидроокиси бария  $\text{Ba}(\text{OH})_2$ ; 3) термическое разложение смеси соответствующих нитратов; 4) термическое разложение раствора окислов и карбонатов в расплаве нитрата аммония [12].

Редкоземельный ион  $\text{Yb}^{3+}$  вводился либо непосредственным добавлением соответствующих окислов, либо смешиванием порошка  $\text{YBa}_2\text{Cu}_3\text{O}_{6+\delta}$  с отдельно синтезированным  $\text{YbBa}_2\text{Cu}_3\text{O}_{6+\delta}$  и последующим спеканием полученной смеси. Монокристаллы  $\text{Y}_{1-x}\text{Yb}_x\text{Ba}_2\text{Cu}_3\text{O}_{6+\delta}$  выращивались из раствора в расплаве окиси меди. Чистые монокристаллы размером  $2 \times 2 \times 0.2$  mm были получены деконтактацией флюса — сливанием жидкой фазы на конечном этапе процесса выращивания. Во всех исследуемых образцах по данным рентгеноструктурного анализа примесных фаз не обнаружено. Для исследуемых монокристаллов  $\text{YBa}_2\text{Cu}_3\text{O}_{6+\delta}$   $T_c = 50 \pm 2$  K.

## 2. Экспериментальные результаты и их обсуждение

Измерения проводились на спектрометре «Varian» в X-диапазоне при температурах от 4.2 до 300 K. Отметим, что проводить измерения ЭПР в сверхпроводящей керамике  $\text{YBa}_2\text{Cu}_3\text{O}_{6+\delta}$  удобно при температуре жидкого азота, так как при этой температуре интенсивность сигнала в нулевых полях достаточно слабая и можно регистрировать спектры ЭПР при максимальном усилении прибора.

В некоторых монокристаллах  $\text{YBa}_2\text{Cu}_3\text{O}_{6+\delta} : \text{Yb}^{3+}$  кроме сигнала иона  $\text{Yb}^{3+}$  и линии с  $g \sim 2$  в спектре ЭПР наблюдались дополнительные линии. В монокристалле № 1 при температурах 4.2 и 77 K в спектре ЭПР зарегистрирован сигнал, соответствующий эффективному  $g_{\perp} \sim 6.16$ ,  $\Delta H = 300$  Oe, при ориентации постоянного магнитного поля перпендикулярно оси  $c$ . Вид спектра приведен на рис. 2,с. Линии в спектре ЭПР соответствуют: в поле 1000 Oe — эффективному  $g$ -фактору, равному 6.16, в области  $\sim 2000$  Oe — примесному иону  $\text{Yb}^{3+}$ , в области 3000 Oe — предположительно одиночным ионам  $\text{Cu}^{2+}$  и медно-кислородному кластеру со спином  $S = 2$ . При повороте образца в магнитном поле на несколько градусов от плоскости  $ab$  сигнал с  $g_{\perp} \sim 6.16$  сдвигался в сторону сильных полей, и амплитуда его падала. При комнатной температуре при  $T = 1.6$  K данный сигнал не наблюдался. Температурная зависимость и эффективное значение  $g_{\perp} \sim 6.16$

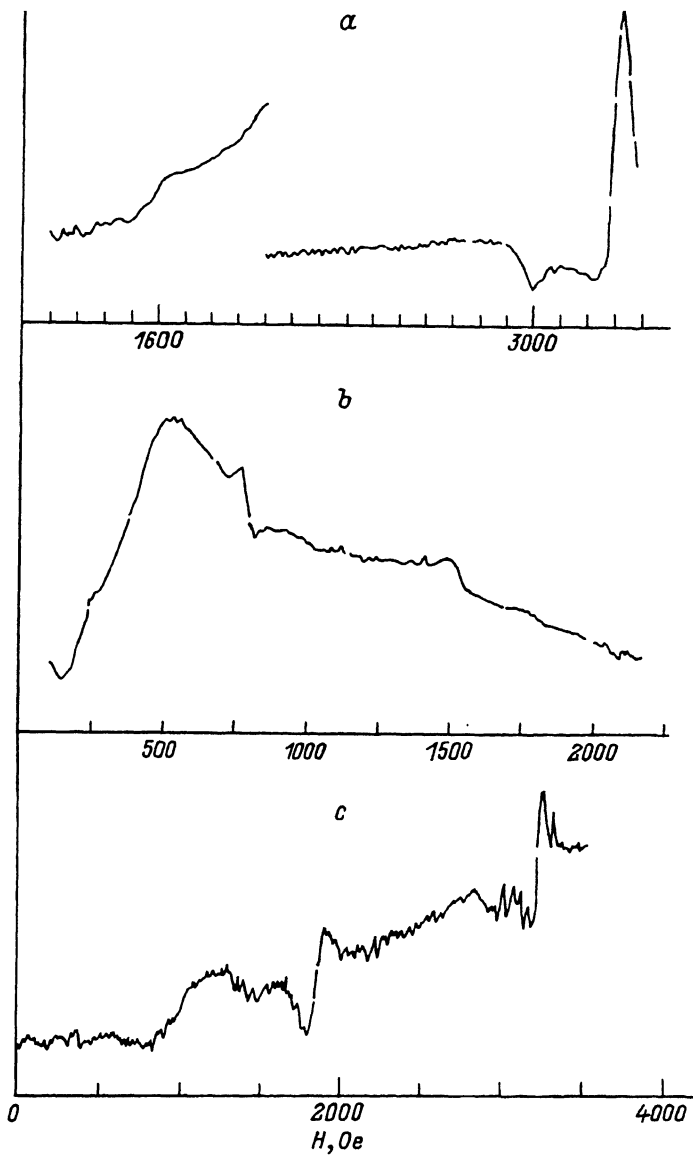


Рис. 2. Спектры ЭПР  $\text{YBa}_2\text{Cu}_3\text{O}_{6+\delta}$ .

*a* — керамика при  $T = 77$  К, *b* — монокристалл № 2 с примесью  $\text{Yb}^{3+}$  при  $T = 4.2$  К (магнитное поле параллельно плоскости *ab*), *c* — монокристалл № 1 с примесью  $\text{Yb}^{3+}$  при  $T = 77$  К (магнитное поле параллельно плоскости *ab*).

свидетельствуют в пользу существования в образце метастабильного кластера со спином  $S = 5/2$ . Спин-гамильтониан кластера имеет вид (1), где параметр анизотропного обмена  $D$ , по оценкам [7], отрицателен, и его среднее значение составляет  $\sim -1.2$  К. Энергетическая схема уровней приведена на рис. 3, *c*. При низких температурах магнитный дублет  $|\pm 1/2\rangle$  не заселен, что объясняет отсутствие сигнала с  $g_{\perp} = 6.16$

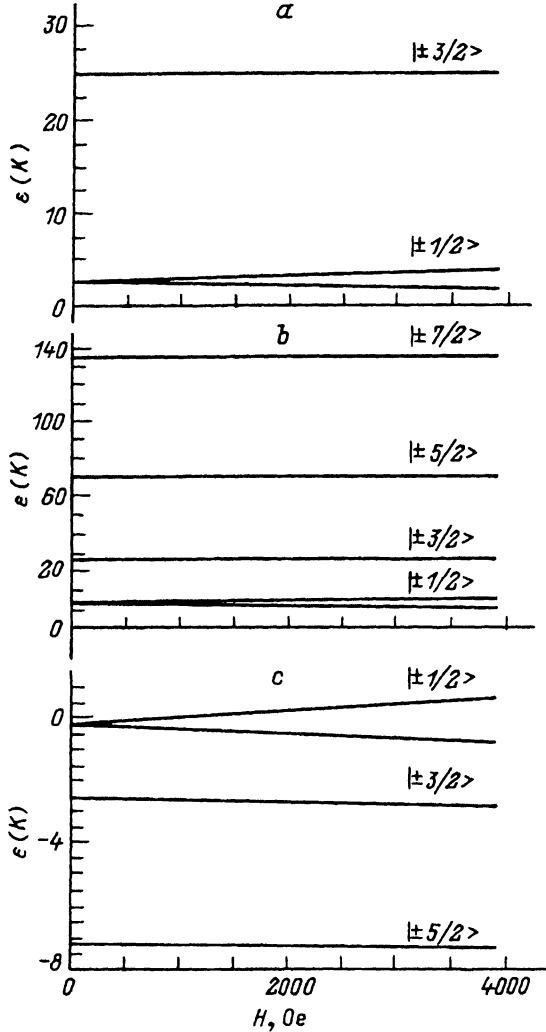


Рис. 3. Расщепление уровней энергии спинов  $S = 3/2$  (a),  $7/2$  (b),  $5/2$  (c) в магнитном поле.

при 1.6 К. Рассчитанное значение  $g_{\perp} = 6.0$  совпадает с экспериментальным в пределах ошибки эксперимента. Переходы  $|\pm 3/2\rangle - |\pm 1/2\rangle$  и  $|\pm 5/2\rangle - |\pm 3/2\rangle$  не наблюдались. Возможно, это объясняется большим разбросом параметра  $D$ , который вызывает сильное неоднородное уширение линий (по предварительным расчетам порядка 1600 Ое).

Параллельную составляющую спектра кластера выделить не удалось, так как  $g_{\parallel} = 2.0$ , а в этой области спектра ЭПР имеется сильное наложение от уже упоминавшихся сигналов кластера с  $S = 2$  и одиночных ионов  $\text{Cu}^{2+}$ .

Сигнал уверенно регистрируется в только что приготовленных («молодых») образцах, затем по мере старения образца интенсивность линии падает. Спустя год после выращивания величина сигнала уменьшается в 10 раз. Это обстоятельство указывает на то, что

медно-кислородные кластеры с  $S = 5/2$  со временем перестраиваются и действительно являются метастабильными образованиями.

Еще один дополнительный сигнал в «молодом» монокристалле № 2 при  $T = 4.2$  К соответствует эффективному  $g \sim 8$ , когда направление постоянного магнитного поля перпендикулярно оси с монокристалла (рис. 2,б). Как видно из этого рисунка, сигнал в поле  $\sim 800$  Ое ( $g \sim 8$ ) накладывается на линию нерезонансного микроволнового поглощения в нулевых полях, характерную для высокотемпературных сверхпроводников. При повороте образца на несколько градусов от плоскости  $ab$  к оси с сигнал ЭПР с  $g \sim 8$  уширяется от 50 Ое при  $0^\circ$  до 150 Ое при  $10^\circ$ , амплитуда его падает, и при дальнейшем вращении линия уже не наблюдается. Данный сигнал можно приписать медно-кислородному кластеру с  $S = 7/2$ . Параметр анизотропного обмена  $D$  такого кластера, по оценкам [7], положителен, и его среднее значение составляет 11 К. Состояния спина  $S = 7/2$  расщепляются на четыре дублета:  $|\pm 7/2\rangle, |\pm 5/2\rangle, |\pm 3/2\rangle, |\pm 1/2\rangle$  (рис. 3,б). Нижним является магнитный дублет  $|\pm 1/2\rangle$ , с эффективным  $g$ -фактором  $g_\perp \sim 8$ , что и наблюдается в эксперименте. По мере старения образца величина сигнала падает, а через год он уже не наблюдается. Правилами отбора разрешены переходы  $|\pm 7/2\rangle - |\pm 5/2\rangle, |\pm 5/2\rangle - |\pm 3/2\rangle$  и  $|\pm 3/2\rangle - |\pm 1/2\rangle$ , но в эксперименте они не наблюдались, так как величина  $D$  достаточно велика.

В керамике  $\text{YBa}_2\text{Cu}_3\text{O}_{6+\delta}$ , приготовленной способом 3, кроме линии с  $g \sim 2$  имеется лишь один дополнительный сигнал. Положение сигнала соответствует эффективному  $g$ -фактору  $\sim 4.23$ . Его спектр при температуре  $T = 77$  К приведен на рис. 2,а. Линии в спектре ЭПР соответствуют: в районе  $\sim 1500$  Ое — эффективному  $g$ -фактору, равному 4.23, в поле  $\sim 3000$  Ое, возможно, обязаны одиночным ионам меди  $\text{Cu}^{2+}$  и медно-кислородным кластерам со спином  $S = 2$ . Можно предположить, что сигнал ЭПР с  $g \sim 4.23$  в порошке состава  $\text{YBa}_2\text{Cu}_3\text{O}_{6+\delta}$  обязан существованию в данном образце кластеров со спином  $S = 3/2$ . Модель такого кластера предложена в [8]. Среднее значение параметра спин-гамильтониана  $D$  по оценкам [7] приблизительно равно 11 К. В магнитном поле уровня энергии спина  $S = 3/2$  расщепляются на два дублета (рис. 3,а). Нижним является магнитный дублет  $|\pm 1/2\rangle$  с  $g_\perp = 4.2$  и  $g_\parallel = 2.4$ . При комнатной температуре данный сигнал в спектре ЭПР не обнаружен. Правилами отбора разрешен переход  $|\pm 3/2\rangle - |\pm 1/2\rangle$ , который в эксперименте не наблюдался, что можно объяснить большой величиной параметра  $D$  ( $D > h\nu$ ).

Таким образом, сигналы ЭПР в  $\text{YBa}_2\text{Cu}_3\text{O}_{6+\delta}$  с  $g_{\text{eff}} \sim 4, 6$  и  $8$  мы связываем с динамически перестраивающимися со временем медно-кислородными кластерами. Основные состояния таких кластеров соответствуют  $S = 3/2, 5/2, 7/2$ . Из-за анизотропного обменного взаимодействия кислородной дырки с ионами меди в спин-гамильтониане кластеров имеется слагаемое типа  $D S_z^2$ , которое расщепляет состояние кластера на крамерсовые дублеты. Предполагая, что  $D > g\beta H$ , мы приходим к заключению, что  $g_\parallel$  всех кластеров приблизительно 2, в то время как эффективные значения  $g_\perp$  разные:  $g_\perp \sim 4$  для  $S = 3/2, g_\perp \sim 6$  для  $S = 5/2$  и  $g_\perp \sim 8$  для  $S = 7/2$ . Наблюдаемые значения эффективных перпендикулярных  $g$ -факторов хорошо коррелируют с этими значениями.

Авторы благодарны М.А. Теплову за обсуждение проблемы магнитных кластеров в ВТСП и А.Е. Усачеву за критический просмотр рукописи и замечания.

### Список литературы

- [1] P.G. Baranov, A.G. Badalyan. Solid State Commun. **85**, 11, 987 (1993).
- [2] О.Н. Бахарев, М.В. Еремин, М.А. Теплов. Письма в ЖЭТФ **61**, 5–6, 499 (1995).
- [3] V. Hizhnyakov, E. Sigmund. Physica **C 165**, 655 (1988).
- [4] V.L. Pokrovsky, G.V. Uimin. Physica **C 160**, 323 (1989).
- [5] D.N. Aristov, S.V. Maleyev. Phys. **B 93**, 181 (1994).
- [6] O.N. Bakharev, A.V. Dooglavl, A.V. Egorov, O.B. Marvin, V.V. Naletov, M.A. Teplov, A.G. Volodin, D. Wagenner. Phase Separation in Cuprate Supercon / Ed. E.Sigmund and K.A. Muller. Springer-Verlag. Berlin-Heidelberg (1994). P. 257.
- [7] O.N. Bakharev, A.V. Dooglavl, A.V. Egorov, M.V. Eremin, E.V. Krjukov, O.B. Marvin, I.R. Mukhamedshin, V.V. Naletov, M.A. Teplov, A.G. Volodin, H.B. Brom, J. Witteveen, H. Alloul, L.K. Aminov, R.M. Eremina. Phys. Rev. **B**. In print (1996).
- [8] M.V. Eremin, E. Sigmund. Solid State Commun. **91**, 5, 367 (1994).
- [9] В.Е. Катаев, Е.Ф. Кукивицкий, Ю.И. Таланов, Г.Б. Тейтельбаум. Письма в ЖЭТФ **48**, 96 (1988).
- [10] Н.М. Сулейманов, В.Е. Катаев, Е.Ф. Кукивицкий, Х. Друлис, Г. Ходзыньский. СФХТ **3**, 4, 608 (1990).
- [11] А.Г. Максимов, Я.Н. Блиновсков, И.А. Леонидов, А.В. Дмитриев, П.Я. Новак, В.Л. Кожевников. СФХТ **2**, 11, 56 (1989).
- [12] Е.Н. Куркин. СФХТ **3**, 11, 2596 (1990).